

brýlové čočky



Drobnosti z historie



středověký čtecí kámen

- „zvětšení pomocí skla naplněného vodou“ písemně zmíněno r. 100 (AD)
- čtecí kameny (čisté sklo ve tvaru obléžků) v 9. století
- v Evropě brýle od cca 13. století, nejprve spojné čočky
- od cca 16. století také rozptylky pro myopy
- „skrářnové brýle“ (s ručkami) až od začátku 18. století



1690: brýle Norimberského stylu se zelenými čočkami

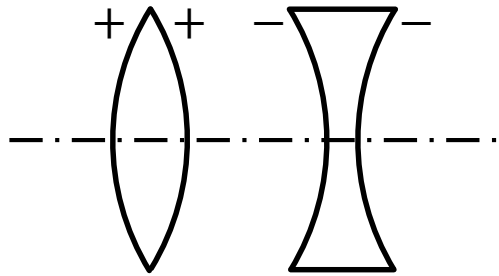


1780: stříbrné brýle

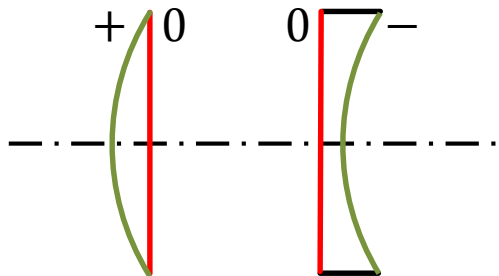


konec 18. století: mosazné obruby, kruhové čočky

Tvar čočky

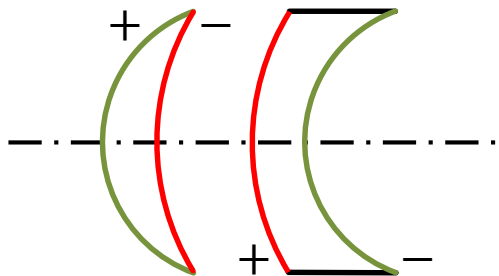


bikonvexní, bikonkávní čočka



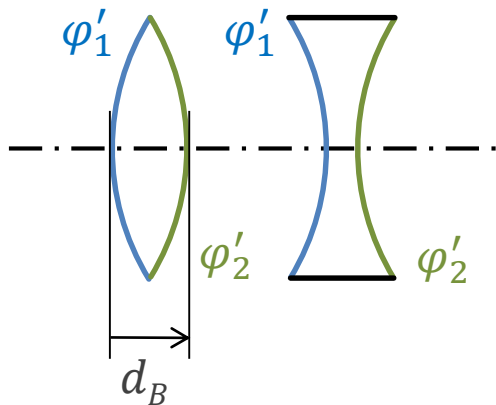
plankonvexní, plankonkávní čočka

- červeně vyznačeny základní plochy
- zeleně doplňkové plochy



periskopická čočka (základní plocha $\pm 1,25$ D)
menisková (polomušlová) čočka (± 6 D, příp. ± 3 D)
mušlová čočka (± 8 D)

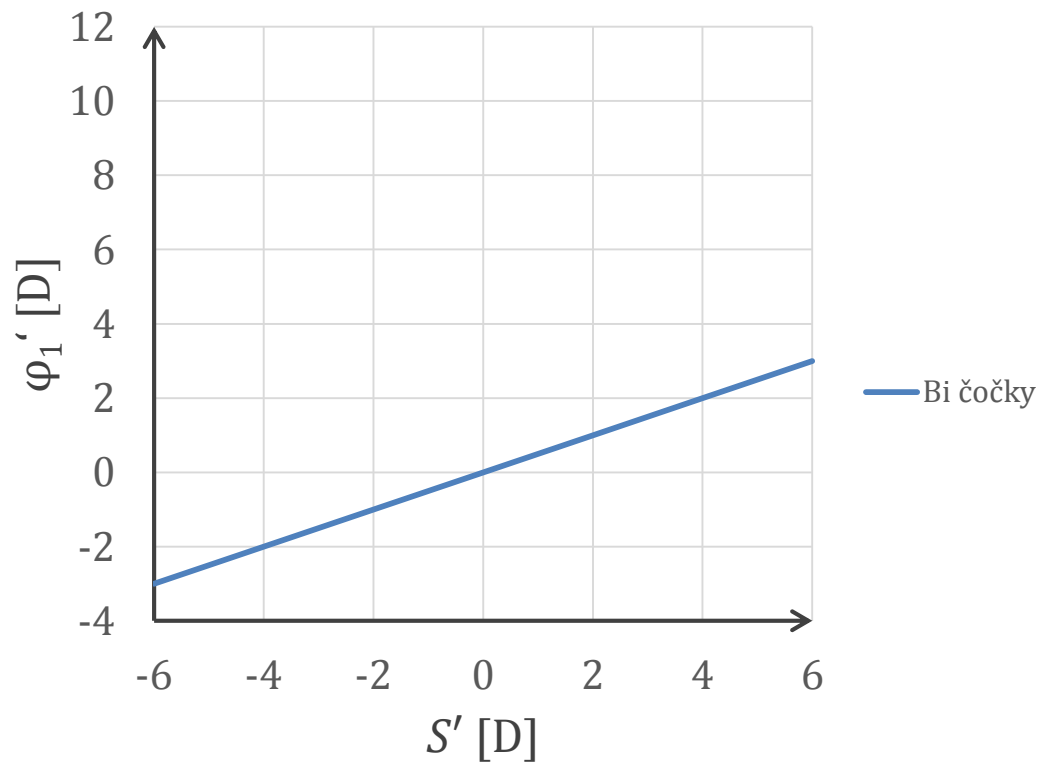
Aproximace tenké čočky



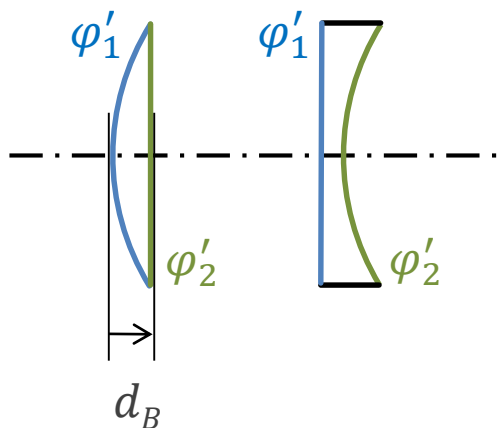
bikonvexní, bikonkávní čočka

$$d_B \rightarrow 0$$

$$S' \approx \varphi'_c \approx \varphi'_1 + \varphi'_2 = 2\varphi'_1$$



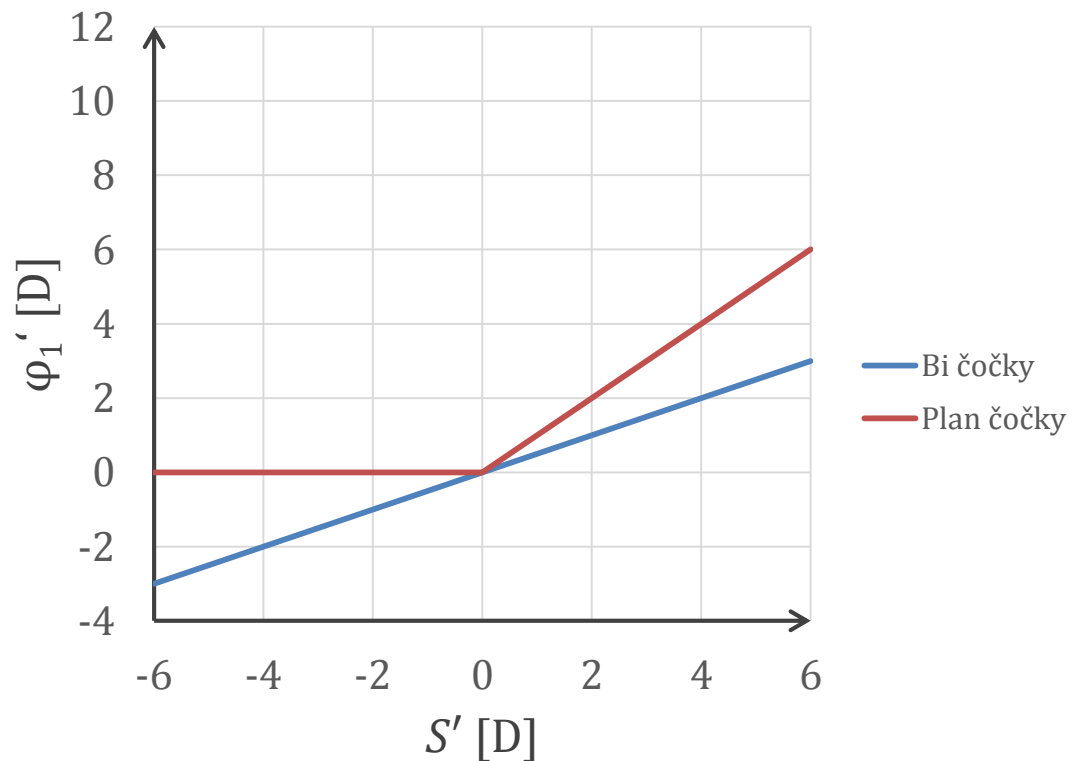
Aproximace tenké čočky



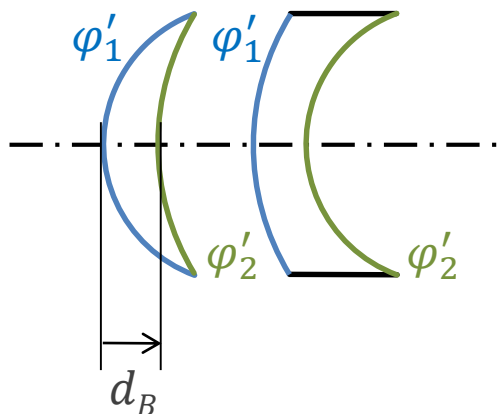
plankonvexní, plankonkávní čočka

$$d_B \rightarrow 0$$

$$S' \approx \varphi'_c \approx \begin{cases} \varphi'_1 & \text{(spojka)} \\ \varphi'_2 & \text{(rozptylka)} \end{cases}$$



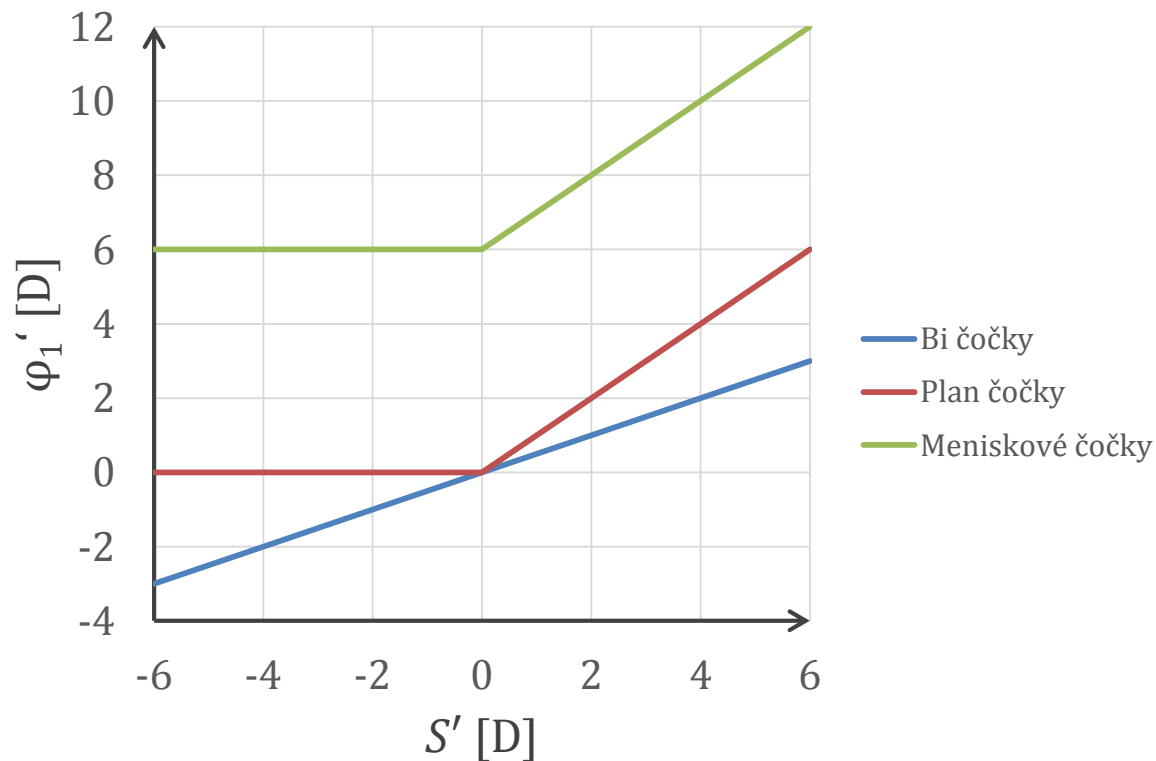
Aproximace tenké čočky



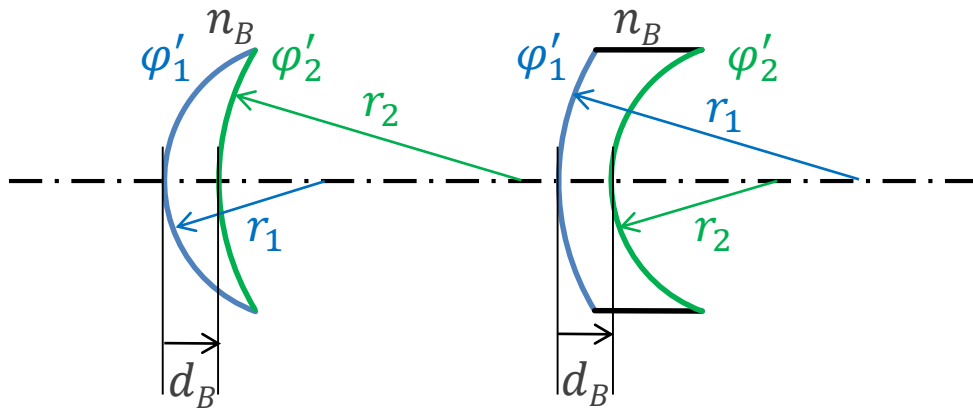
menisková (polomušlová) čočka ($\pm 6 D$)

$$d_B \rightarrow 0$$

$$S' \approx \varphi'_c \approx \begin{cases} \varphi'_1 - 6D & \text{(spojka)} \\ 6D + \varphi'_2 & \text{(rozptylka)} \end{cases}$$



Přesné výpočty



$$\varphi'_1 = \frac{n_B - 1}{r_1} > 0$$

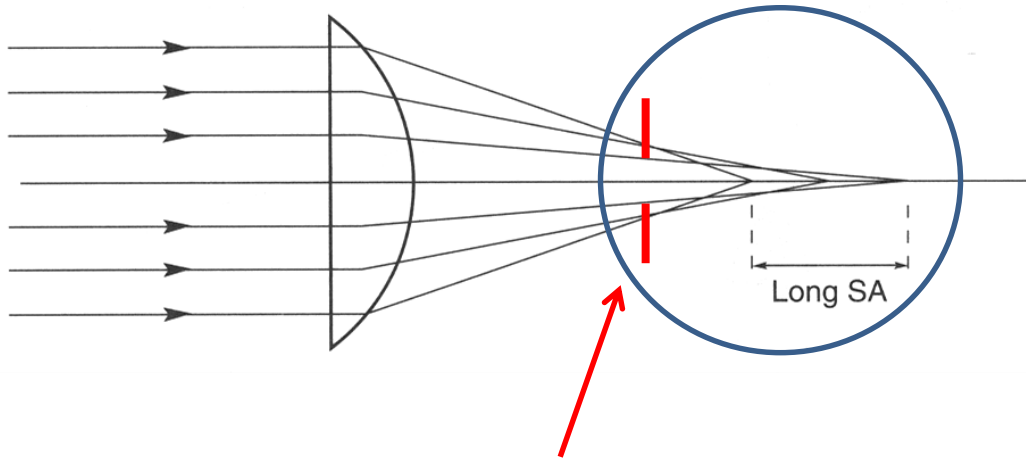
$$\varphi'_2 = \frac{1 - n_B}{r_2} < 0$$

$$\delta = \frac{d_B}{n_B}$$

vrcholová lámavost brýlové čočky:

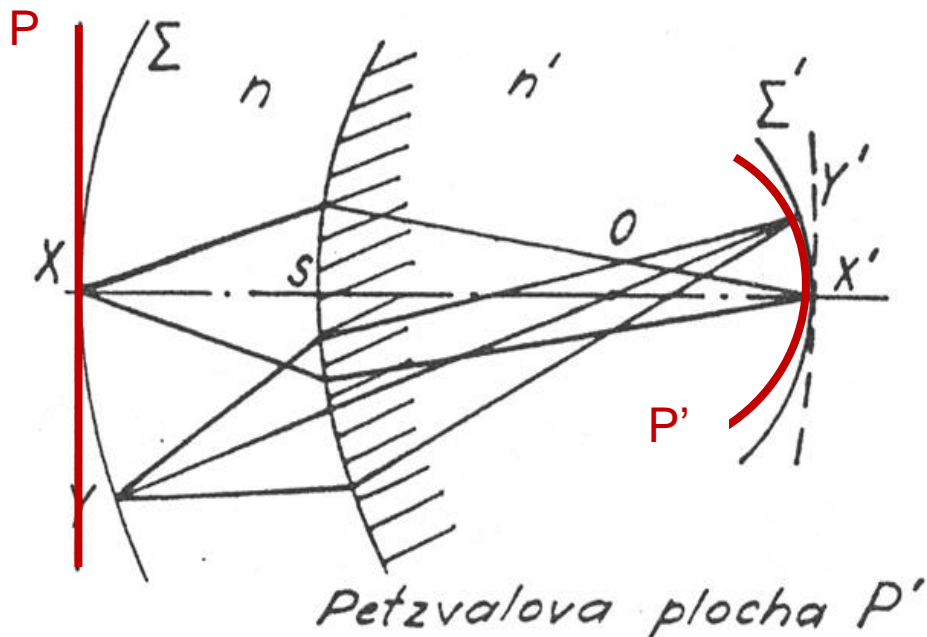
$$S' = \Gamma' \varphi'_c = \frac{\varphi'_1}{1 - \delta \varphi'_1} + \varphi'_2 = \varphi'_{1tč} + \varphi'_2$$

Vady brýlové čočky



- **Otvorová vada a koma** se projevují málo, protože svazek je omezen relativně malou pupilou oka – zornicí.
- **Barevná vada** může být omezena vhodným výběrem materiálu čočky.
- **Periferní astigmatismus a sklenutí pole** jsou **podstatné**, jejich správná korekce zaručuje bodové zobrazování.

Petzvalovo sklenutí pole



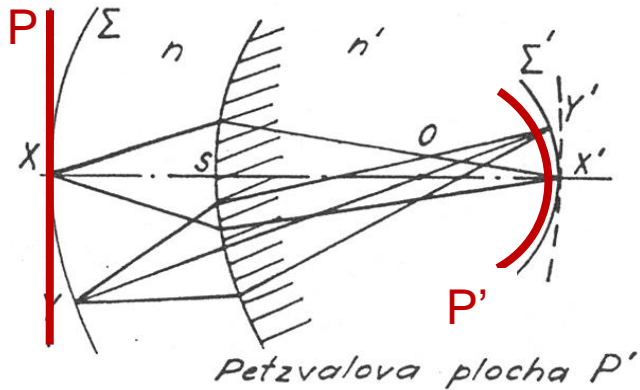
London
1854

Joseph Petzval

1807 - 1891

- Při sklenutí pole jsou body rovinné předmětové plochy P ostře zobrazeny na sférickou (kulovou) plochu P', což je tzv. **Petzvalova plocha**.

Poloměr Petzvalovy plochy



jedna lámavá plocha: tenká čočka:

$$R_P = \frac{nr}{n - n'}$$

$$R_P = -nf'$$

Petzvalova suma pro
soustavu tenkých čoček:

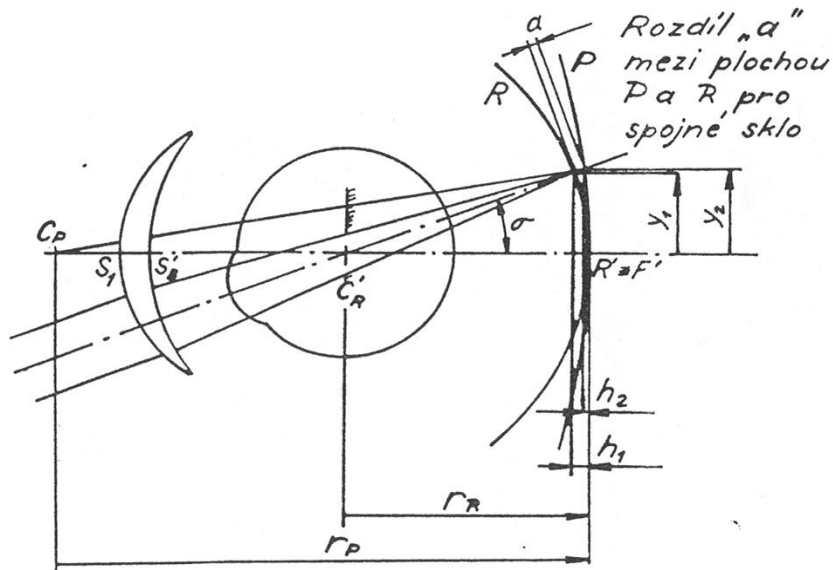
$$\frac{1}{R_P} = - \sum \frac{1}{n_i f_i'} = - \sum \frac{\varphi_i'}{n_i}$$

Petzvalova-Coddingtonova podmínka pro rovinné pole soustavy čoček:

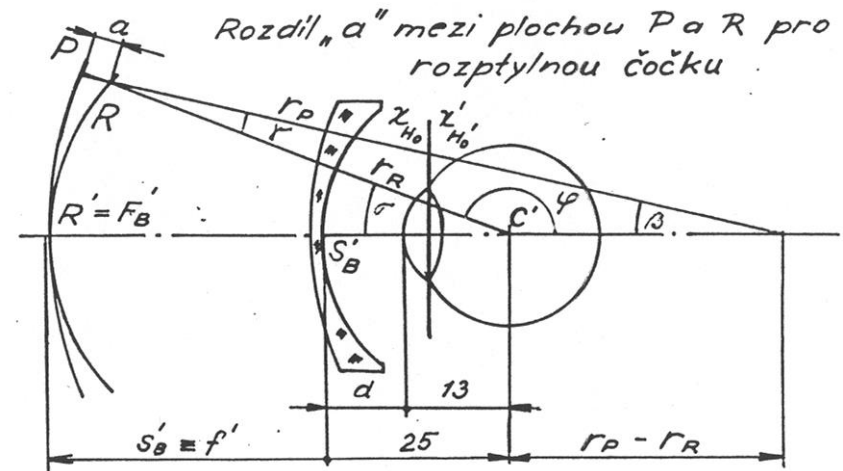
$$\frac{1}{R_P} = - \sum \frac{1}{n_i f_i'} = - \sum \frac{\varphi_i'}{n_i} = 0$$

Sklenutí pole a otáčení oka

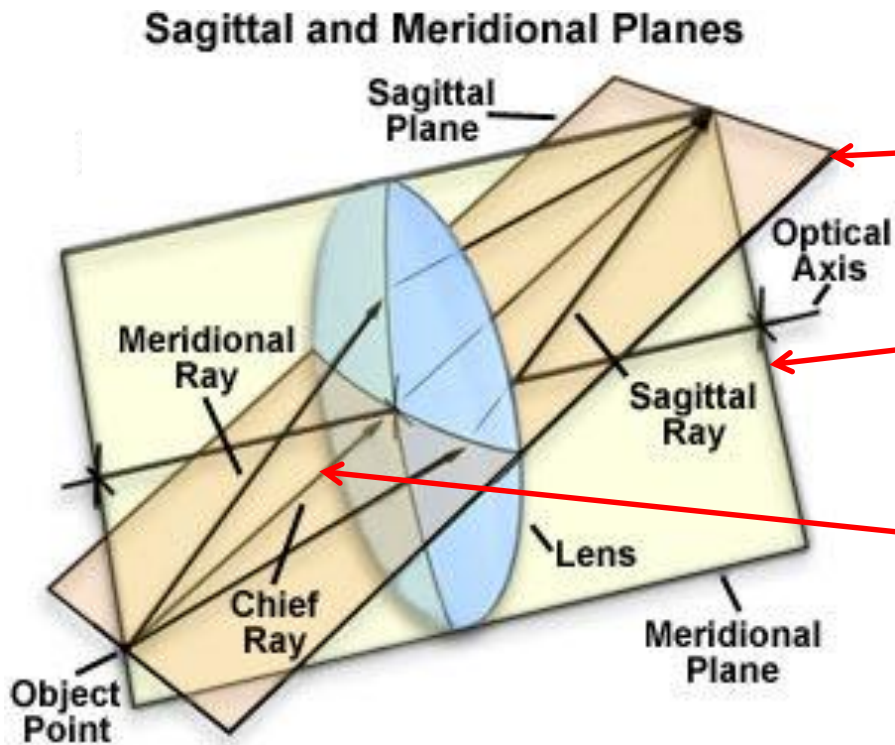
hypermetrop



myop



Tangenciální a sagitální rovina



sagitální rovina

obsahuje hlavní paprsek, je kolmá na tangenciální rovinu

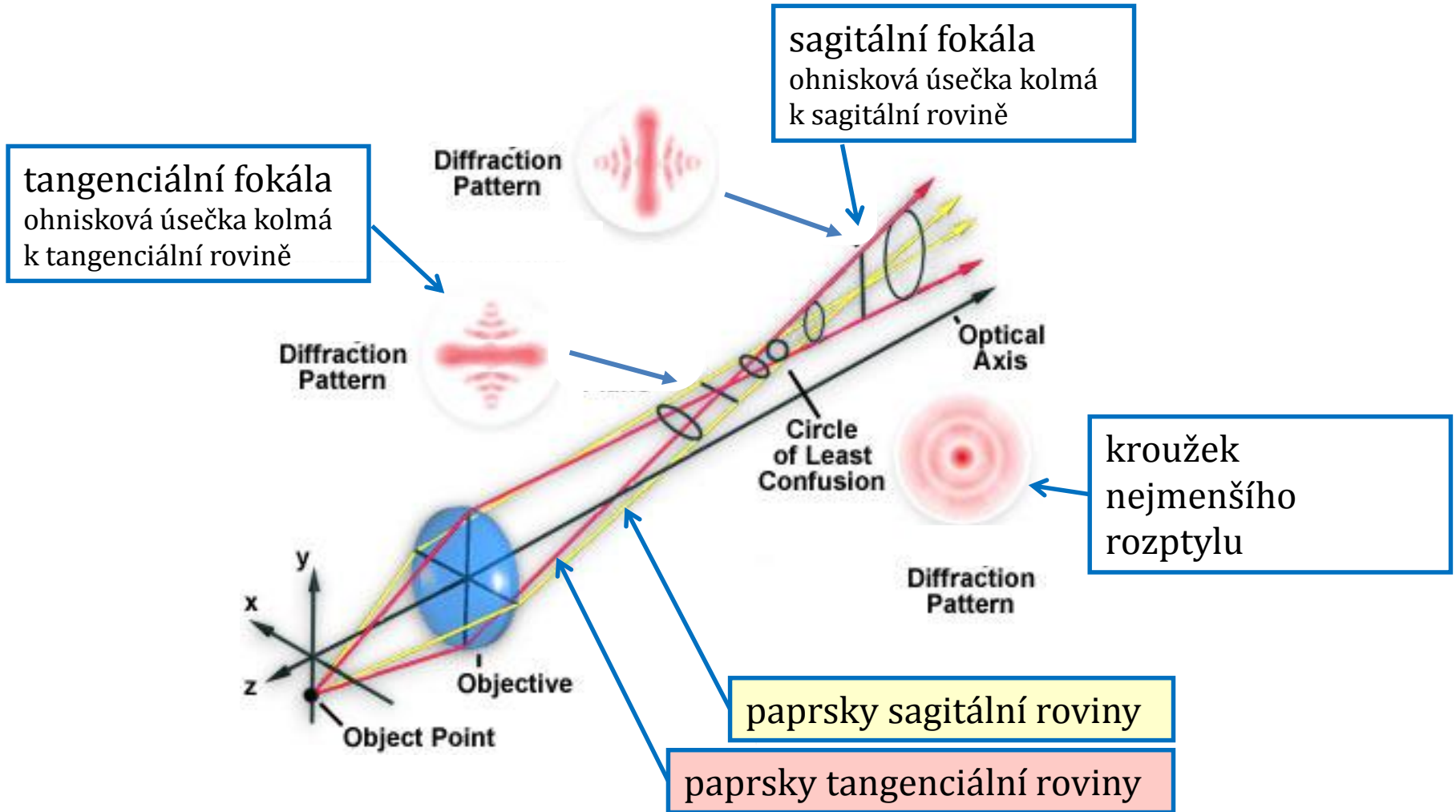
tangenciální (meridionální) rovina

obsahuje hlavní paprsek (tj. také předmětový bod) a optickou osu

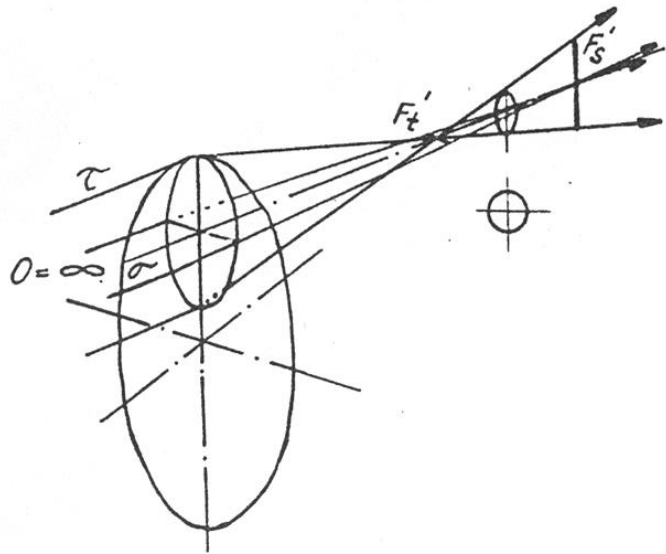
hlavní paprsek

prochází předmětovým bodem a středem pupily

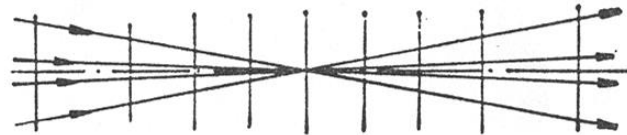
Astigmatický svazek



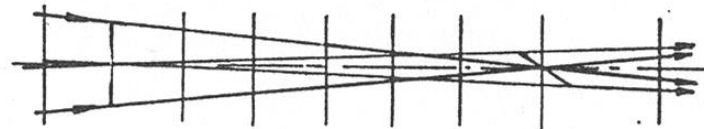
Astigmatický svazek



Fokály astigmatického svazku



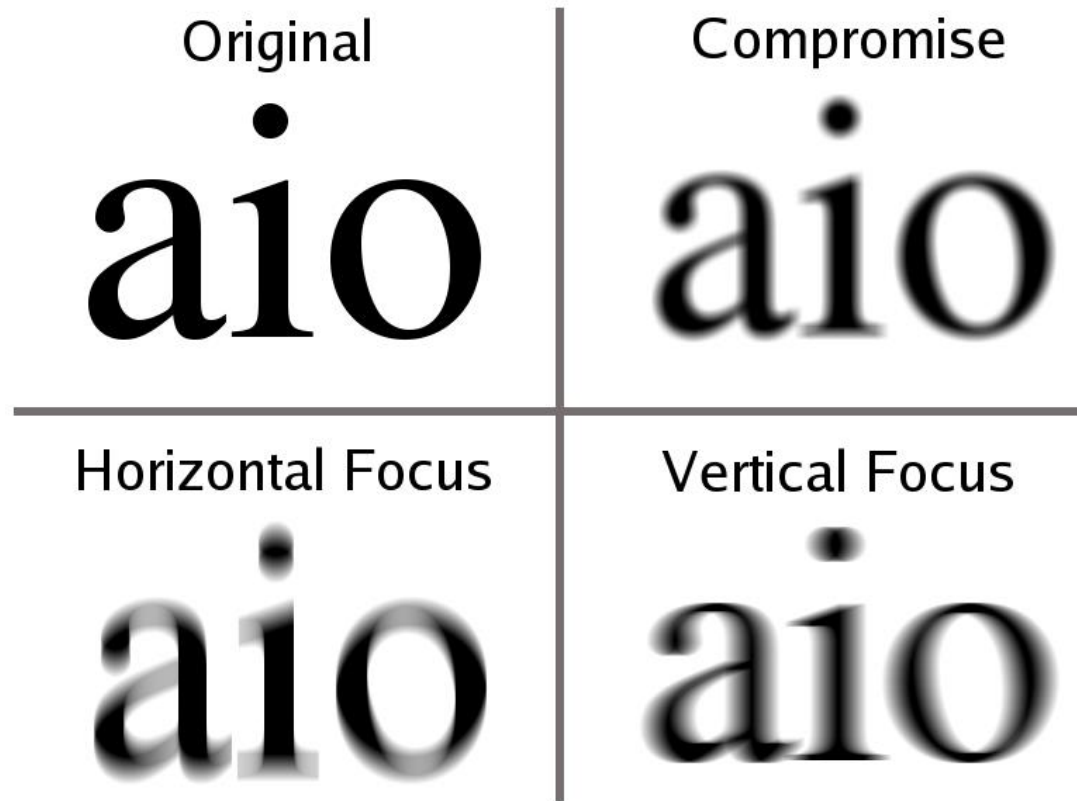
Ideální svazek paprsků



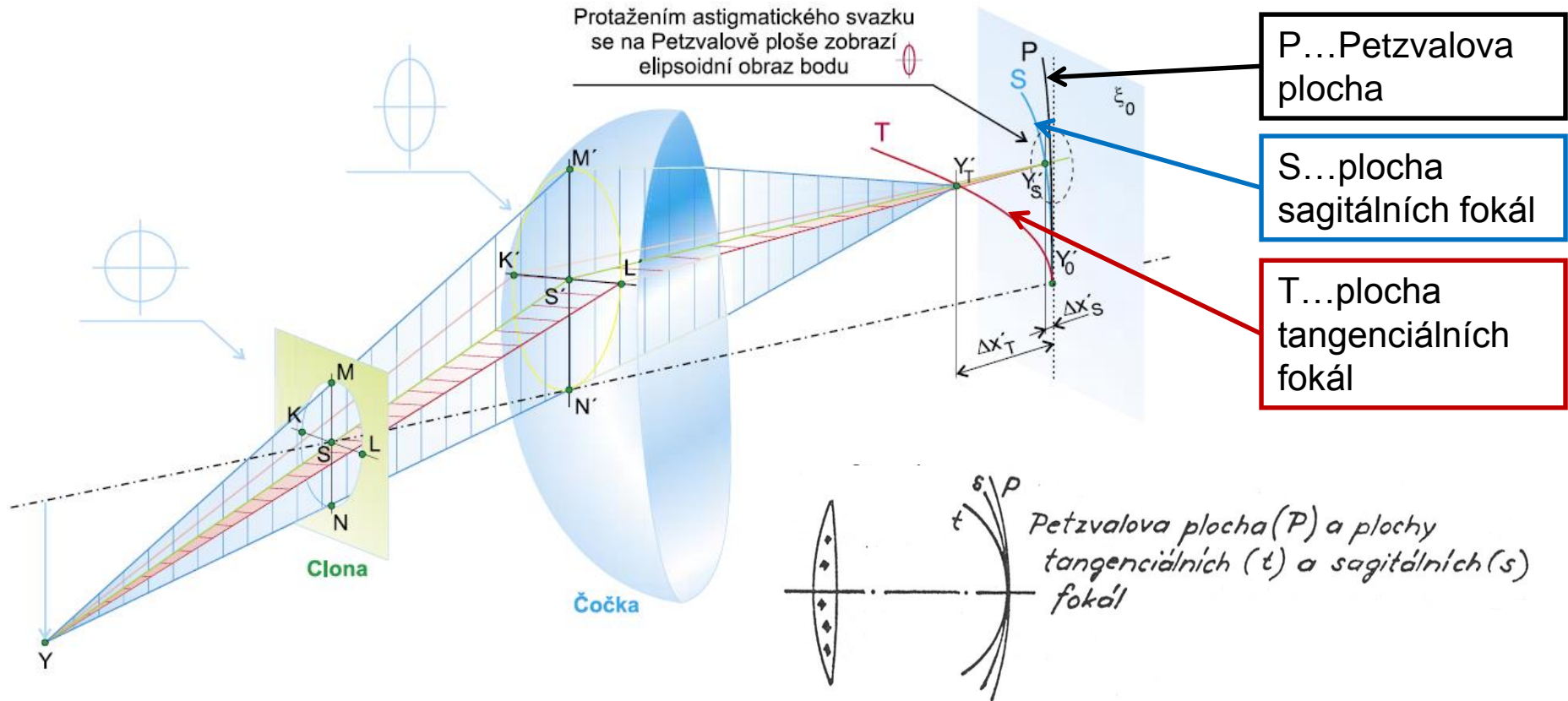
Astigmatický svazek paprsků



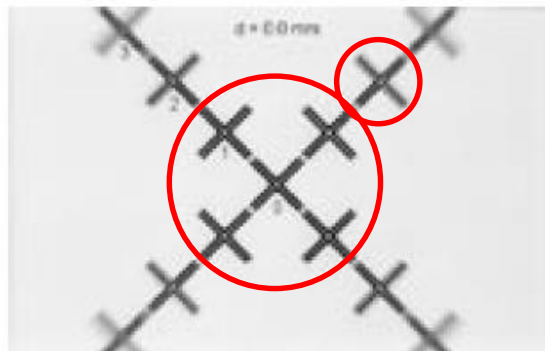
Zobrazení astigmatickým svazkem



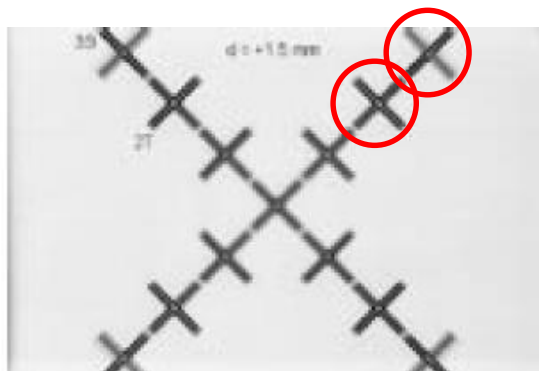
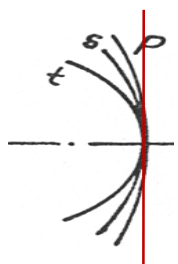
Periferní astigmatismus čočky



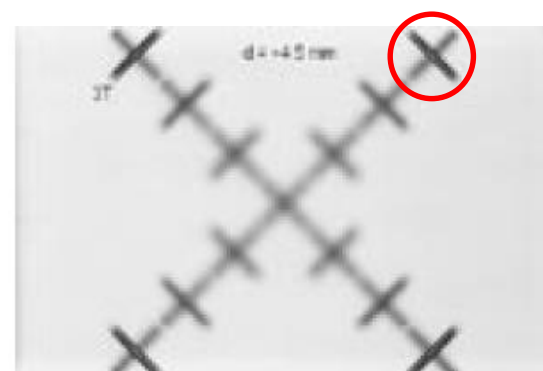
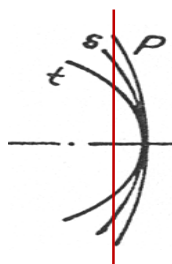
Zobrazení astigmatickým svazkem



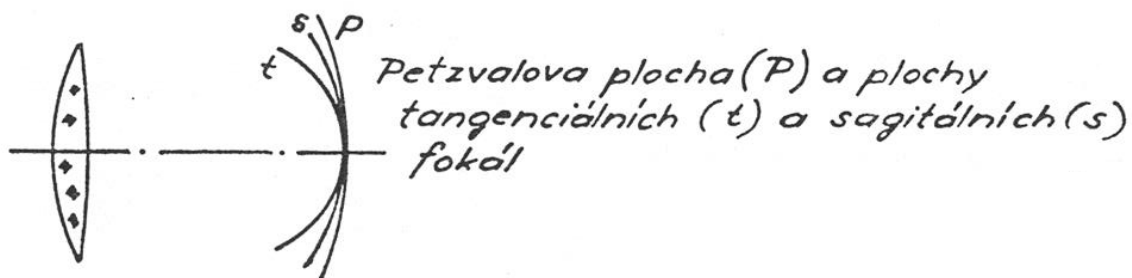
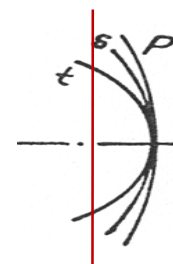
$d = 0$ mm
(od ohniska k čočce)
zaostřena centrální
část a 2S čáry



$d = -1,5$ mm
(od ohniska k čočce)
centrální část rozostřena,
zaostřeny 2T a 3S čáry



$d = -4,5$ mm
(od ohniska k čočce)
centrální část rozostřena,
zaostřeny 3T čáry



Korekce periferního astigmatismu



William Hyde Wollaston (1766-1828 ←) v roce 1804 prokázal, že zraková ostrost pozorovatele **klesá**, když se dívá přes **periferii** bikonvexních brýlových čoček. Současně zaznamenal, že skla ve tvaru menisku poskytují vyšší kvalitu vidění a navrhl sérii čoček s velkou křivostí, které zlepšovaly periferní vidění díky korekci periferního astigmatismu.

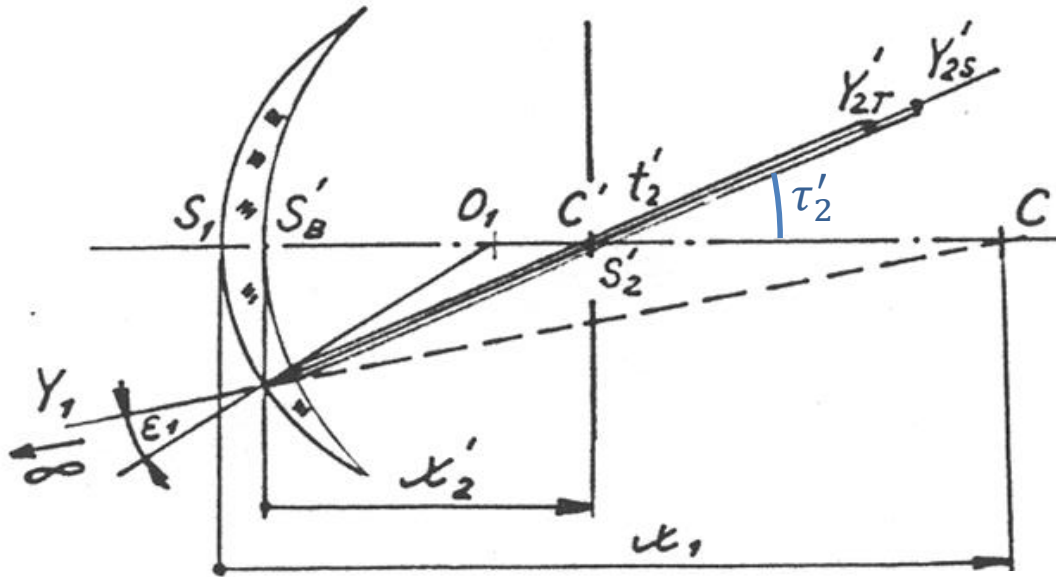
Franz Ostwalt* (1862-1937,) v roce 1898 navrhl sadu meniskových čoček, které rovněž zmenšovaly periferní astigmatismus, s menšími křivostmi.

Návrhem čoček meniskového tvaru s korigovaným periferním astigmatismem se významně zabýval také **Marius Hans Erik Tscherning** (1854-1939, dánský optalmologista →).



*Bývá zaměňován s Friedrichem Wilhelmem Ostwaldem, 1853-1932, slavným fyzikálním chemikem.

Výpočet poloh fokál 1 (situace)



- Y_1 ... mimoosový předmětový bod v nekonečnu
- $Y'_{2T,S}$... jeho zobrazení paprsky v tangenciální, sagitální rovině (fokály)
- $t'_2 s'_2$... vzdálenosti fokál
- C' ... střed otáčení oka s myšlenou clonou
- x'_2 ... jeho vzdálenost od vrcholu zadní plochy brýlové čočky
- τ'_2 ... úhel otočení oka

Výpočet poloh fokál 2 (postup)

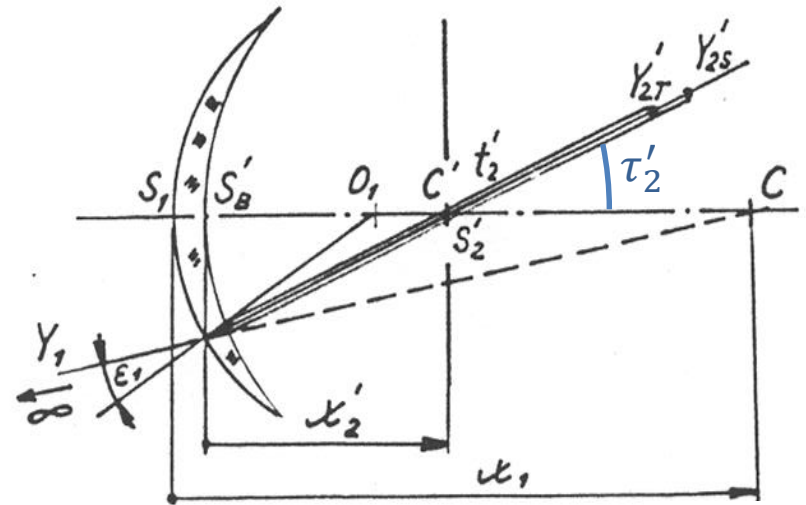
1. počítáme polohu fokál $Y'_{2T,S}$ brýlové čočky, podmínka nulového periferního astigmatismu

$$\text{je: } Ast = \frac{1}{t'_2} - \frac{1}{s'_2} = 0$$

2. svazek je omezen zornicí; protože rotuje s okem, nahradíme myšlenou pevnou clonou umístěnou do středu C' otáčení oka
3. hlavní paprsek tudíž prochází bodem C' , jeho průběh odvodíme zpětným trasováním paprsku
4. polohu fokál určíme použitím **Coddingtonových rovnic** (obdoba Gaussovy zobrazovací rovnice) platných pro úzký svazek v blízkosti hlavního paprsku pro obě plochy čočky; pro jednu plochu mají tvar:

$$\frac{n' \cos^2 \varepsilon'}{t'} = \frac{n \cos^2 \varepsilon}{t} + \frac{n' \cos \varepsilon' - n \cos \varepsilon}{r}$$

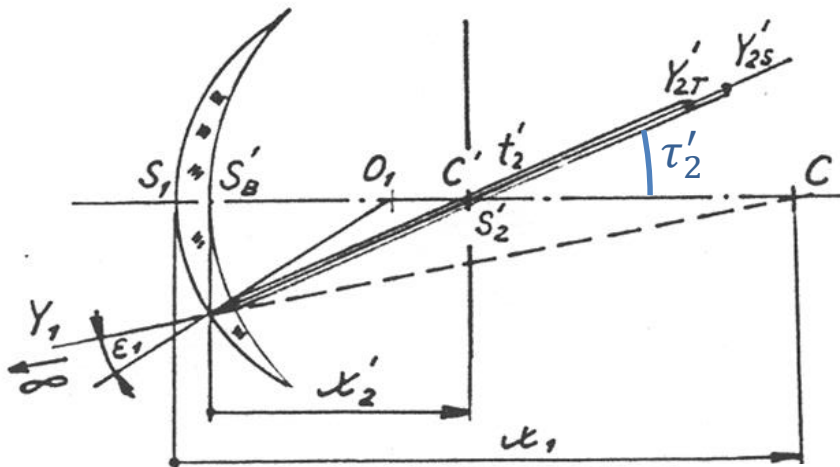
$$\frac{n'}{s'} = \frac{n}{s} + \frac{n' \cos \varepsilon' - n \cos \varepsilon}{r}$$



Gaussova rovnice (pro srovnání):

$$\frac{n'}{x'} = \frac{n}{x} + \frac{n' - n}{r}$$

Podmínka nulového astigmatismu



Y_1	... předmětový bod v ∞
$Y'_{2T,S}$... fokály
$t'_2 s'_2$... vzdálenosti fokál
C'	... střed otáčení oka
τ'_2	... úhel otočení oka

1. podmínka $\frac{1}{t'_2} - \frac{1}{s'_2} = 0$ je splněna, právě když platí (aproximace tenké čočky):

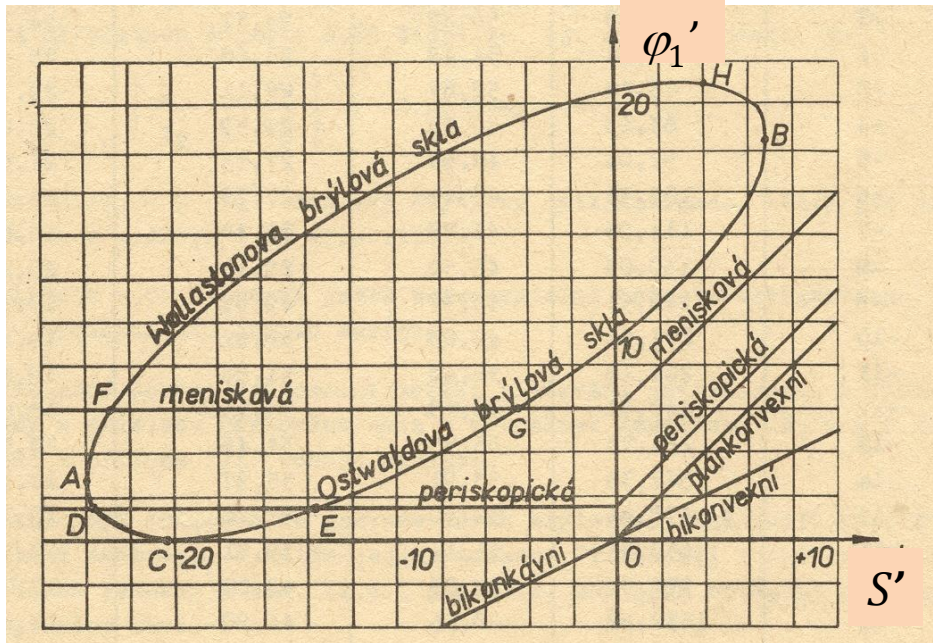
$$\varphi_1'^2 (n + 2) - \varphi_1' \left[\varphi_C' (n + 2) + \frac{2}{x_2'} (n^2 - 1) \right] + n \left(\varphi_C' + \frac{n-1}{x_2'} \right)^2 = 0$$

2. řešení této kvadratické rovnice pro $n = 1,523$, $x_2' = 25$ mm má tvar:

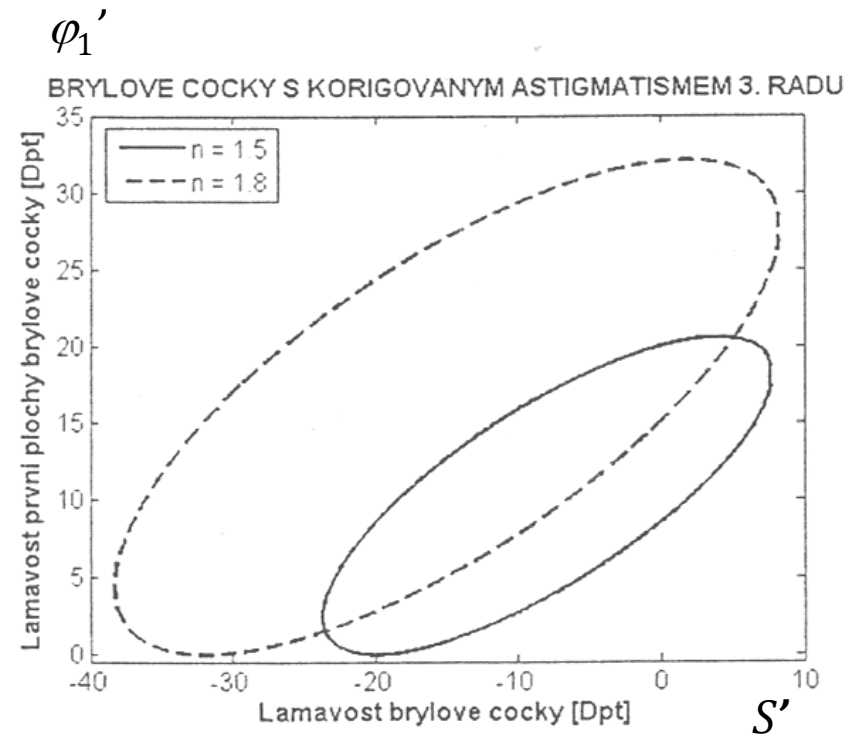
$$\varphi_1' = \frac{\varphi_C' + 29,78}{2} \pm \sqrt{\left(\frac{\varphi_C' + 29,78}{2} \right)^2 - 0,4318 \varphi_C'^2 - 17,96 \varphi_C' - 186,8}$$

3. Graficky je výsledek vyjádřen pomocí tzv. Tscheringovy elipsy →

Tscherningova elipsa

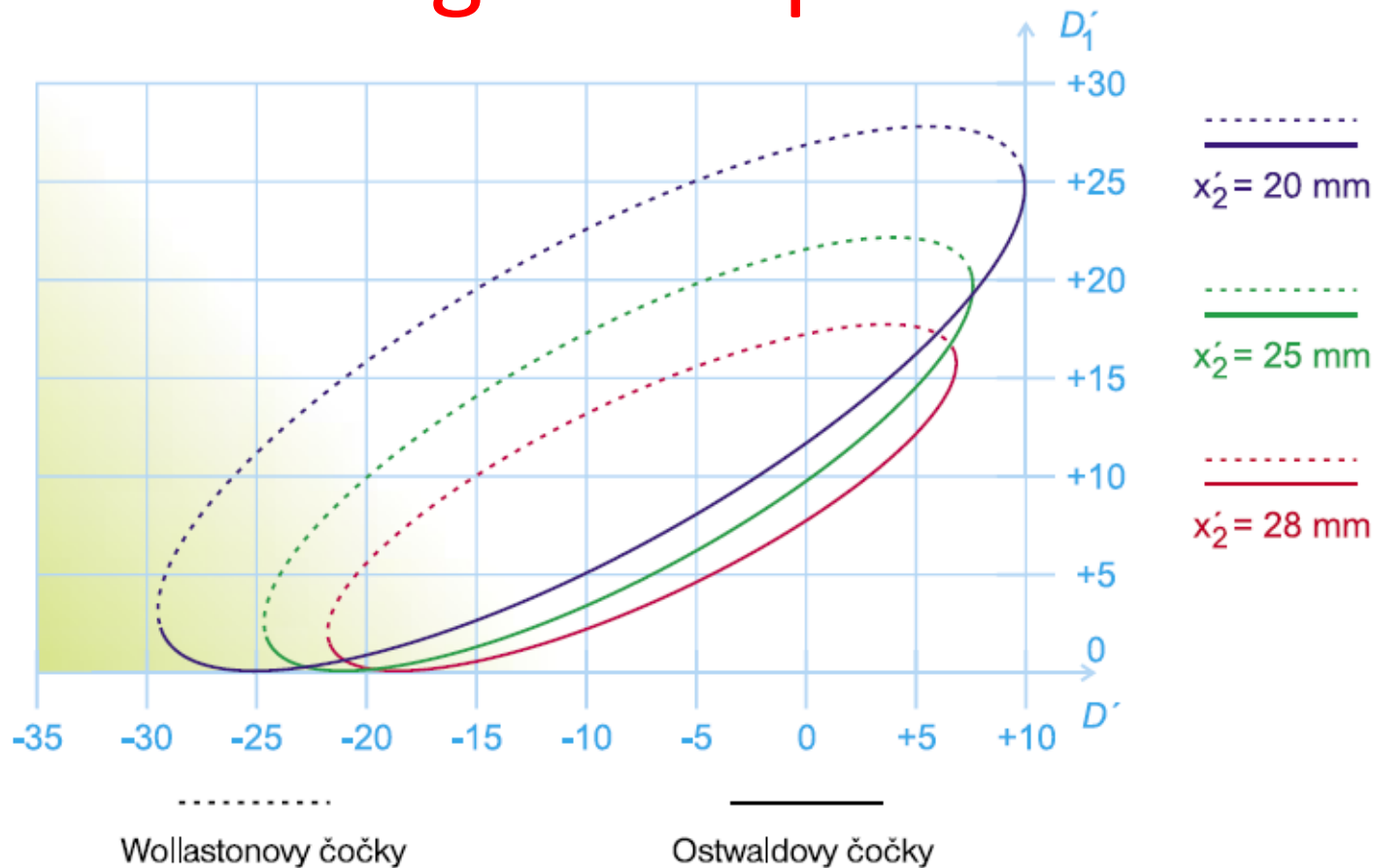


$$n = 1,523, x'_2 = 25 \text{ mm}$$



$$n = 1,5 / n = 1,8, x'_2 = 25 \text{ mm}$$

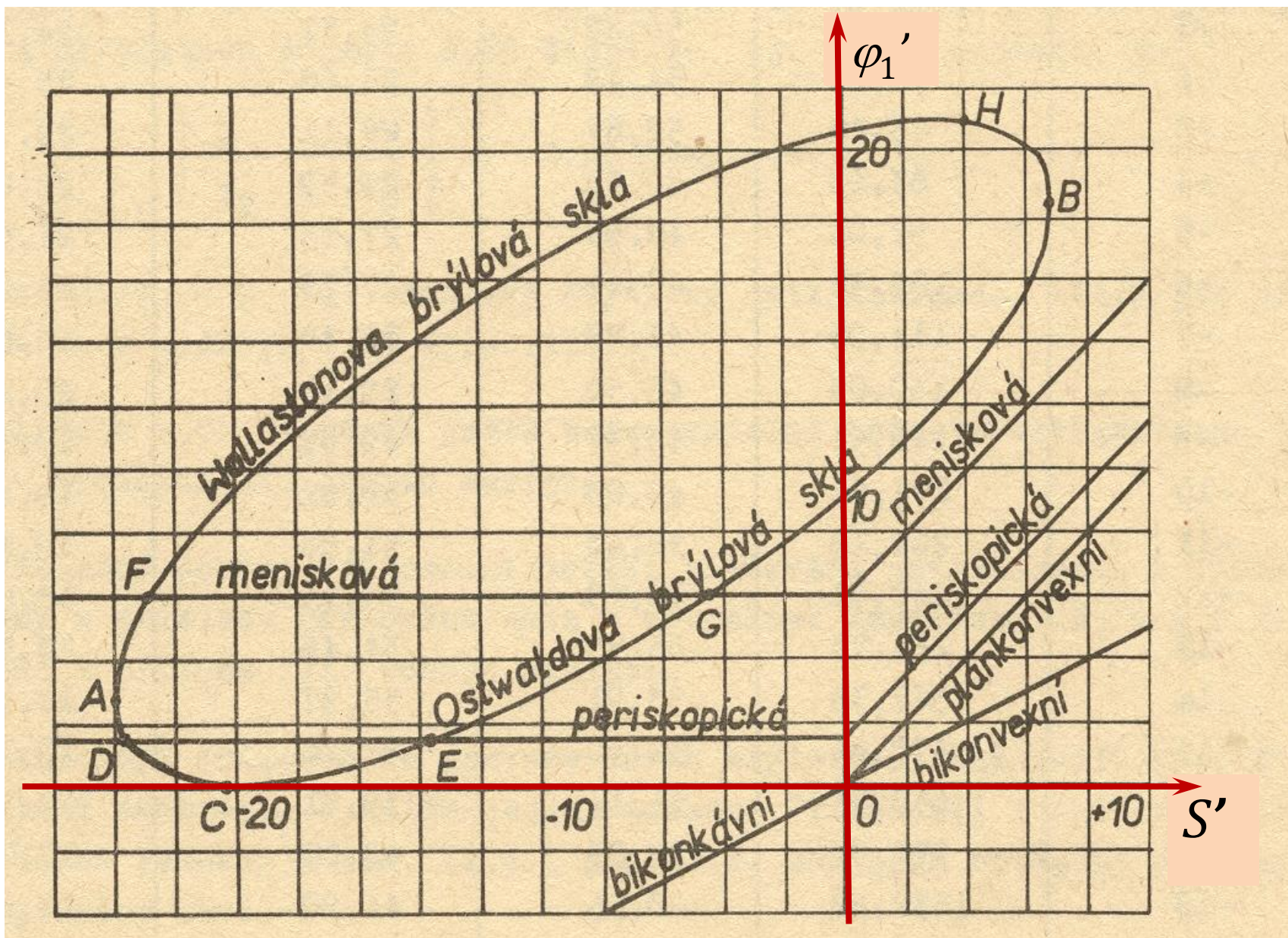
Tscherningova elipsa



vzdálenost BČ od
středu otáčení oka

Oblasti řešení

$$n = 1,523, x'_2 = 25 \text{ mm}$$



Tabulka poloměrů křivostí ploch

S [D]	Oswalt		Wollaston	
	1. řešení		2. řešení	
	r ₁ mm	r ₂ mm	r ₁ mm	r ₂ mm
7	32,01	55,99	25,36	38,39
6	35,32	59,37	24,72	34,61
5	38,49	60,09	24,47	31,94
4	41,78	61,29	24,39	29,98
3	45,27	61,16	24,43	28,41
2	49,06	60,39	24,52	27,09
1	53,22	59,25	24,74	25,97
0	57,83	57,83	24,99	24,99
-1	62,93	56,22	25,31	24,15
-2	68,84	54,49	25,68	23,38
-3	75,48	52,67	26,11	22,71
-4	83,13	50,82	26,59	22,09
-5	92,04	48,96	27,13	21,54
-6	102,51	47,11	27,73	21,04
-7	114,98	45,29	28,40	20,58
-8	130,03	43,50	29,15	20,17
-9	148,51	41,77	29,99	19,78
-10	171,63	40,09	30,92	19,43
-11	201,18	38,46	31,96	19,11
-12	240,01	36,89	33,13	18,82
-13	294,73	35,37	34,46	18,57
-14	367,35	33,91	35,97	18,33
-15	478,84	32,50	37,70	18,12
-16	658,21	31,14	39,71	17,93
-17	978,67	29,83	42,08	17,77
-18	1652,92	28,55	44,90	17,64
-19	3552,02	27,32	48,35	17,54
-20	14223,55	26,10	52,69	17,48
-21	261500,00	24,90	58,35	17,46
-22	8211,65	23,70	66,20	17,49
-23	1869,99	22,47	78,25	17,62
-24	664,41	21,10	86,07	17,99

Platí pro tenké brylové čočky vzdálené 25mm od bodu otáčení oka při pozorování značně vzdálených předmětů a pro malé úhly

Bodově zobrazující čočky



Moritz von Rohr (1868-1940)

V roce 1912 propočítal design bodově zobrazujících čoček pro Carl Zeiss (Jena).

Byly vyráběny čočky „Punktal“.

ZEISS PUNKTAL-GLÄSER

Durch das alte bikonvexe Brillenglas sieht man von der Mitte nach dem Rande zunehmend schlechter

Durch das ZEISS-Punktalglas sieht man von der Mitte bis zum Rande gleich gut

Druckschrift „Opto 55“ kostenlos

BERLIN HAMBURG  WIEN Buenos Aires

ZEISS PUNKTAL-GLÄSER

Punktuell abbildende Brillengläser für Kurz- u. Weitsichtigkeit u. Astigmatismus.

Altes bikonvexes Brillenglas

Neues Punktalglas von CARL ZEISS, Jena

Diese Bilder werden wahrgenommen bei einer Ablenkung der Blickrichtung um 10°, 20°, 30° von der Achse

Deutliche Abbildung

bei jeder Blickrichtung von der Mitte bis zum Rande des Glases.

Ausnutzung der natürlichen Beweglichkeit des Auges.

Brillen mit Zeiss-Punktalgläsern sind ohne Mechanismus als Schiessbrillen verwendbar.

Nur durch Optiker zu beziehen.

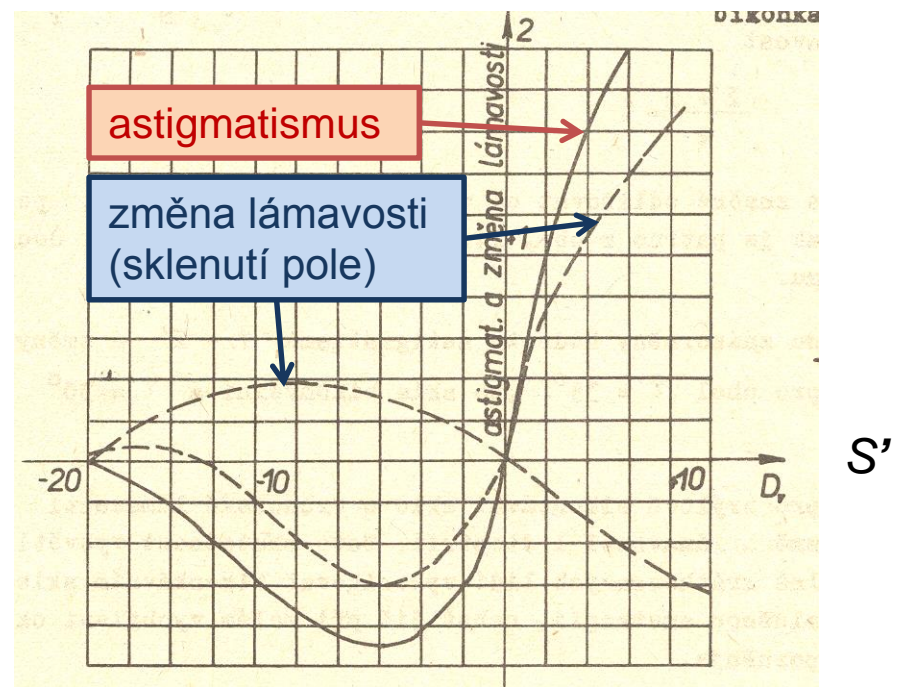
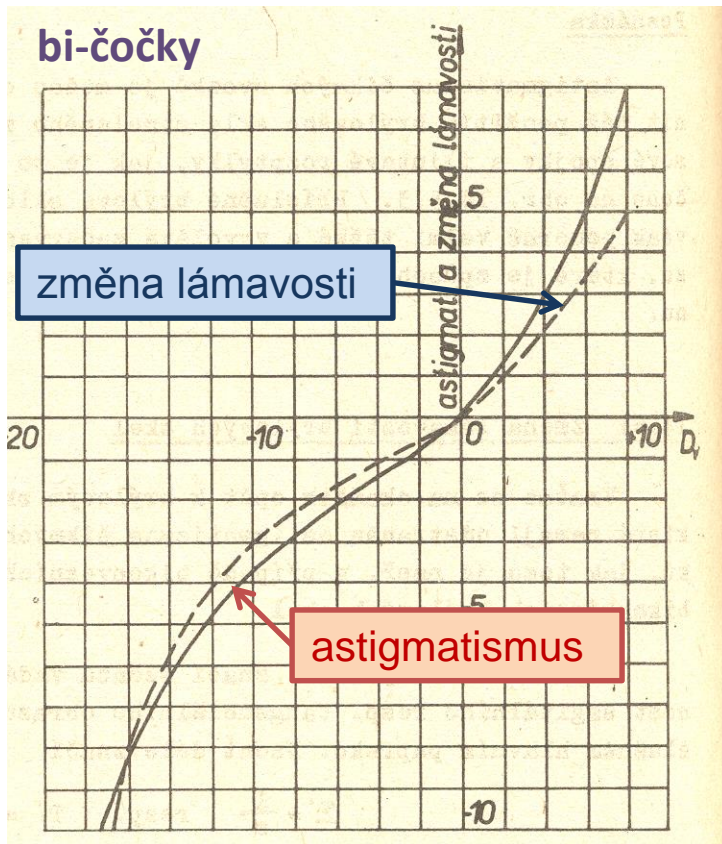


Prospekt Opto 17 kostenfrei.

BERLIN · HAMBURG · WIEN · BUENOS AIRES

3

Změna optické mohutnosti brýlové čočky



plan- a punktální čočky

Příklady českých čoček – „skupinová skla“

Charakteristické parametry skupinových skel čs. výroby

Vrcholová lámavost A' [dpt]	Optická mohutnost základní plochy D ₂ resp. D ₁ [dpt]	Optická mohutnost doplňkové (tvořící) plochy [dpt]	Seřadová tloušťka d [mm]
S _B 0,00	φ ₂ D ₁ = -6,00 dpt	φ ₁ +5,95	d 1,8
+0,25		+6,20	1,8
+0,50		+6,44	2,0
+0,75		+6,68	2,1
+1,00		+6,93	2,2
+1,25		+7,17	2,3
+1,50		+7,41	2,4
+1,75		+7,65	2,5
+2,00		+7,89	2,6
+2,25		+8,13	2,7
+2,50		+8,36	2,8
+2,75		+8,60	2,9
+3,00		+8,84	3,0
+3,25		+9,07	3,1
+3,50		+9,20	3,3
+3,75		+9,54	3,4
+4,00		+9,67	3,6
+4,50		+10,23	3,8
+5,00	+10,69	4,0	
+5,50	+11,13	4,4	
+6,00	+11,57	4,7	
+6,50	+12,04	4,6	
+7,00	+12,46	5,0	
+7,50	+12,89	5,3	
+8,00	+13,31	5,6	
+8,50	+13,77	5,5	
+9,00	D ₁ = -4,00 dpt	+12,40	5,6
+9,50		+12,82	5,9
+10,00		+13,24	6,2
+10,50		+13,66	6,4
+11,00		+14,15	6,3
+11,50		+14,54	6,4
+12,00		+14,92	6,8
+12,50		+15,30	7,2
+13,00		+15,60	7,6
+13,50		+16,03	8,0
+14,00	+16,38	8,3	
+14,50	+16,72	8,8	
+15,00	D ₁ = -3,00 dpt	+16,38	8,3
+15,50		+16,72	8,8
+16,00		+17,05	9,1
+17,00		+17,72	9,8
+18,00		+18,50	9,8
+19,00	D ₂ = -1,00 dpt	+17,55	10,6
+20,00		+18,18	11,2

(pokračování)

Vrcholová lámavost A' [dpt]	Optická mohutnost základní plochy D ₂ resp. D ₁ [dpt]	Optická mohutnost doplňkové (tvořící) plochy [dpt]	Seřadová tloušťka d [mm]	
S _B -0,25	φ ₁ D ₁ = +6,00 dpt	φ ₂ -6,29	d 1,7	
-0,50		-6,53	1,6	
-0,75		-6,78	1,5	
-1,00		-7,03	1,4	
-1,25		-7,28	1,3	
-1,50		-7,52	1,2	
-1,75		-7,77	1,2	
-2,00		-8,02	1,1	
-2,25		-8,27	1,1	
-2,50		-8,52	1,1	
-2,75		-8,77	1,0	
-3,00		-9,02	0,9	
-3,25		-9,26	0,8	
-3,50		-9,51	0,8	
-3,75		-9,76	0,8	
-4,00	D ₁ = +4,50 dpt	-8,51	0,8	
-4,50		-9,01	0,8	
-5,00		-9,51	0,8	
-5,50		-10,00	0,7	
-6,00		-10,50	0,7	
-6,50	D ₁ = +3,00 dpt	-9,52	0,7	
-7,00		-10,02	0,7	
-7,50		-10,52	0,6	
-8,00		-11,02	0,6	
-8,50		-11,52	0,5	
-9,00	-12,02	0,5		
-9,50	D ₁ = +2,00 dpt	-11,52	0,5	
-10,00		-12,02	0,5	
-10,50		-12,51	0,5	
-11,00		-13,02	0,5	
-11,50		-13,52	0,5	
-12,00	D ₁ = +1,00 dpt	-13,02	0,5	
-12,50		-13,51	0,5	
-13,00		-14,01	0,5	
-13,50		-14,50	0,5	
-14,00		-15,00	0,5	
-14,50		-15,50	0,5	
-15,00		-16,00	0,5	
-15,50		-16,50	0,5	
-16,00		D ₁ = 0,00 dpt	-16,00	0,5
-17,00			-17,00	0,5
-18,00	-18,00		0,5	
-19,00	-19,00		0,5	
-20,00	-20,00		0,5	

Příklady českých čoček – DIOSFER, PUNKTUR

autoři využili počítačací stroje a podrobně zhodnotili vliv tloušťky i křivosti skel s ohledem na optimální návrh při pozorování různé vzdálených předmětů. Kompromisem mezi konvenční vzdáleností do blízka (250 mm) a do dálky (∞) dospěli k brýlovým sklům s minimálním astigmatismem. Tato skla vyrábí n. p. Dioptra – Turnov pod názvem DIOSFER (tabulka I.13).

Skutečnost, že jde o bodově zobrazující brýlová skla, zdůrazňují někteří výrobci, v jejich názvu (C. Zeiss: PUNCTAL, Dioptra: PUNKTUR; punctum (lat.) = bod). Některé parametry skel zn. PUNKTUR jsou uvedeny v tabulce I.14.


Charakteristické parametry čs. brýlových skel DIOSFER

Vrcholová lámavost K' [dpt]	Optická mohutnost vypuklé plochy D_1 [dpt]	Optická mohutnost duté plochy D_2 [dpt]	Středová tloušťka d [mm]
S_1^+ S_2^+ 0,00	φ_1^+ +5,95	φ_2^+	d 2,0
+0,25	+6,20	-6,00	2,1
+0,50	+6,45		2,2
+0,75	+6,70		2,3
+1,00	+6,95		2,4
+1,25	+7,19		2,6
+1,50	+7,44		2,7
+1,75	+7,65		2,8
+2,00	+7,92		2,9
+2,25	+8,13		3,0
+2,50	+8,38		3,2
+2,75	+8,63		3,3
+3,00	+8,86		3,4
+3,25	+9,10		3,5
+3,50	+9,34		3,7
+3,75	+9,57		3,8
+4,00	+9,81		4,0
-0,25	+6,00	-6,30	1,7
-0,50		-6,55	1,6
-0,75		-6,80	1,5
-1,00		-7,05	1,5
-1,25	+5,50	-6,80	1,4
-1,50		-7,05	1,3
-1,75		-7,30	1,3
-2,00		-7,55	1,2
-2,25	+5,00	-7,30	1,2
-2,50		-7,55	1,1
-2,75		-7,79	1,0
-3,00		-8,04	1,0
-3,25	+4,50	-7,79	1,0
-3,50		-8,04	1,0
-3,75		-8,28	1,0
-4,00		-8,53	1,0

Charakteristické parametry čs. bodově zobrazujících skel PUNKTUR

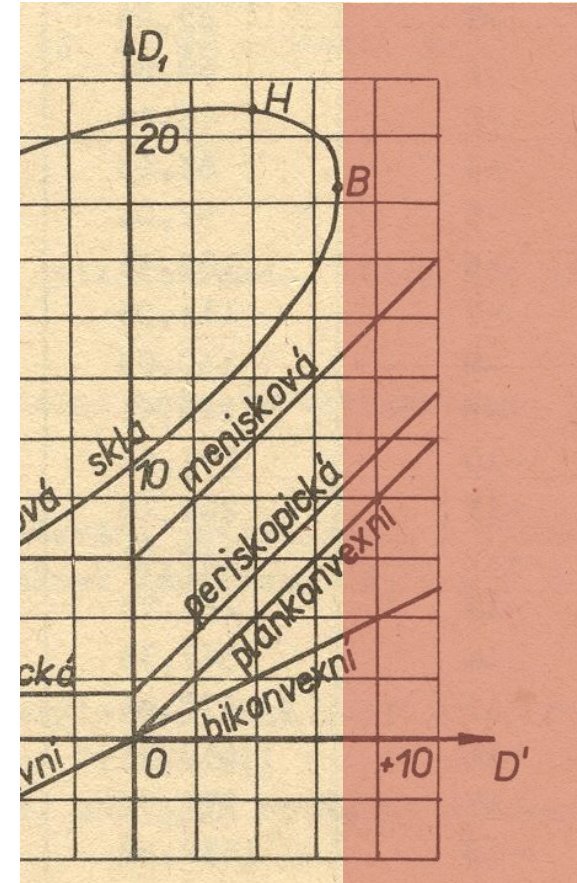
Vrcholová lámavost K' [dpt]	Optická mohutnost vypuklé plochy D_1 [dpt]	Optická mohutnost duté plochy D_2 [dpt]	Středová tloušťka d [mm]	
S_1^+ S_2^+ +0,25	φ_1^+ +6,355	φ_2^+	d 1,8	
+0,50	+6,601	-6,153	1,8	
+0,75	+6,844		1,9	
+1,00	+7,077		2,0	
+1,25	+7,327		2,1	
+1,50	+7,569		2,2	
+1,75	+7,809		2,3	
+2,00	+8,759		-6,882	2,4
+2,25	+8,997			2,5
+2,50	+9,234	2,6		
+2,75	+9,464	2,8		
+3,00	+9,687	3,1		
+3,25	+9,926	3,1		
+3,50	+10,159	3,2		
+3,75	+10,391	3,3		
+4,00	+10,617	3,5		
+4,50	+11,308	-7,164	4,1	
+5,00	+11,472		4,5	
+5,50	+12,168		4,9	
+6,00	+12,599	5,2		
-0,25	+6,173	-7,449	1,6	
-0,50		-7,736	1,5	
-0,75		-7,990	1,4	
-1,00		-8,232	1,3	
-1,25		-8,444	1,1	
-1,50		-8,699	1,0	
-1,75		-8,963	0,9	
-2,00		-9,214	0,9	
-2,25		-8,444	0,9	
-2,50		-8,699	0,9	
-2,75		-8,963	0,9	
-3,00		-9,214	0,9	
-3,25		-9,473	0,9	
-3,50		-9,694	0,8	
-3,75		+5,451	-9,214	0,8
-4,00			-9,473	0,7
-4,50	-9,966		0,7	
-5,00	+4,705	-9,694	0,6	
-5,50		-10,197	0,6	
-6,00		-10,728	0,6	

Možnosti realizace bodově zobrazujících čoček


ZEISS
KATRALGLÄSER
 — für Star-Operierte —

Blick- richtung	Schriftproben		Blick- richtung
0°			0°
10°			10°
20°			20°
30°			30°

Schriftproben, gesehen durch
 ein gleichseitiges Starglas ein Katalglas
 von + 13 dptr von + 13 dptr
 in den angegebenen Blickrichtungen zur optischen Achse
 des Glases



Optické vlastnosti materiálů brýlových čoček

důležité parametry:

- index lomu
- hustota
- Abbeovo číslo
- UV mezní bod
- curve variation factor (CVF)
- odrazivost

index lomu

n_d ... pro čáru d

n_e ... pro čáru e

Medium	n_d	n_e	CVF	Density	UV cut-off	Abbe	ρ (%)
Glasses							
White Crown	1.523	1.525	1.0	2.5	320	59	4.3
Light flint	1.600	1.604	0.87	2.6	334	42	5.3
1.7 glasses	1.700	1.705	0.75	3.2	340	35	6.7
	1.701	1.706	0.75	3.2	320	42	6.7
1.8 glasses	1.802	1.807	0.65	3.7	332	35	8.2
	1.830	1.838	0.63	3.6	340	32	8.6
1.9 glasses	1.885	1.893	0.59	4.0	340	31	9.4
Plastics							
CR39	1.498	1.500	1.0	1.3	355	58	4.0
INDO Superfin	1.523	1.525	0.95	1.3	350	48	4.3
Trivex®	1.532	1.535	0.94	1.1	380	46	4.4
Sola Spectralite	1.537	1.540	0.93	1.2	385	47	4.5
Corning SunSensors®	1.555	1.558	0.90	1.2	380	38	4.7
PPG HIP	1.560	1.563	0.89	1.2	370	38	4.8
AO Alphalite 16XT	1.582	1.585	0.86	1.3	380	34	5.1
Polycarbonate	1.586	1.589	0.85	1.2	385	30	5.2
Hoya Eyas 1.6	1.600	1.603	0.83	1.3	380	42	5.3
Polyurethanes	1.600	1.603	0.83	1.3	380	36	5.3
	1.609	1.612	0.82	1.4	380	32	5.4
	1.660	1.664	0.75	1.4	375	32	6.2
	1.670	1.674	0.74	1.4	395	32	6.3
Hoya Eyry 1.7	1.695	1.710	0.72	1.4	380	36	6.7
High index 1.71	1.710	1.715	0.70	1.4	380	36	6.9
Very high index	1.740	1.746	0.67	1.5	400	33	7.3

Optické vlastnosti materiálů brýlových čoček

důležité parametry:

- **index lomu**

- hustota
- Abbeovo číslo
- UV mezní bod

- curve variation factor (CVF)
- odrazivost

normal index	$n \geq 1.48$	but < 1.54
mid index	$n \geq 1.54$	but < 1.64
high index	$n \geq 1.64$	but < 1.74
very high index	$n \geq 1.74$	

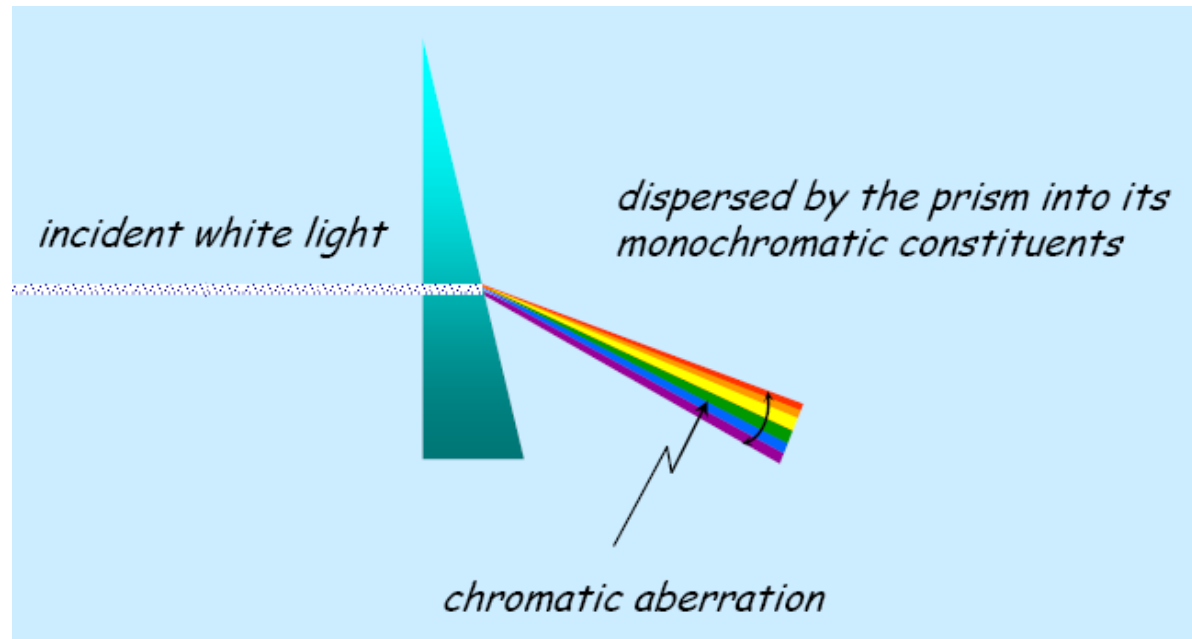
Optické vlastnosti materiálů brýlových čoček

důležité parametry:

- index lomu
- hustota
- **Abbeovo číslo**
- UV mezní bod

- curve variation factor (CVF)
- odrazivost

$$V_e = \frac{n_e - 1}{n_{F'} - n_{C'}}$$



Optické vlastnosti materiálů brýlových čoček

důležité parametry:

- index lomu
- hustota
- **Abbeovo číslo**
- UV mezní bod

$$v_e = \frac{n_e - 1}{n_{F'} - n_C}$$

- curve variation factor (CVF)
- odrazivost

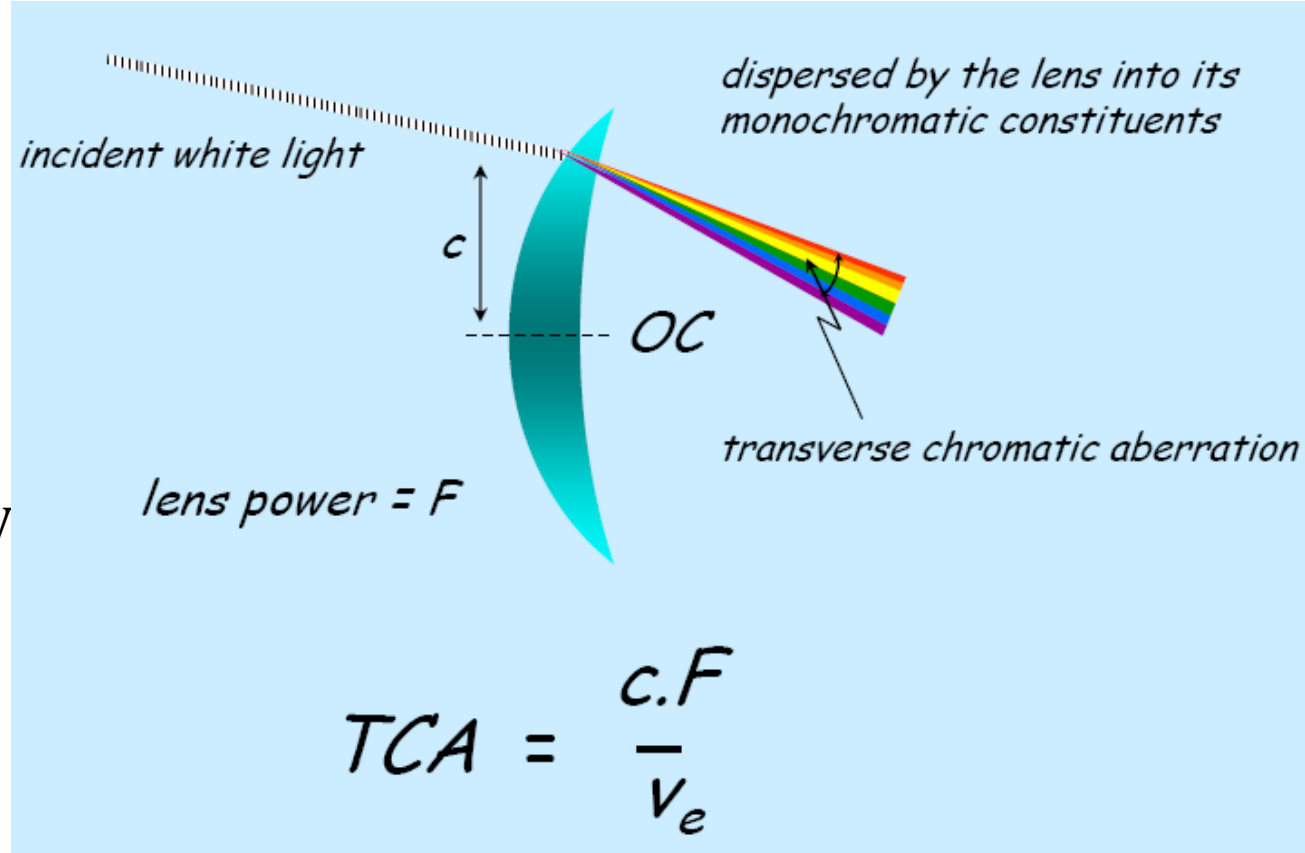
Designation	Element	Wavelength (nm)	Designation	Element	Wavelength (nm)
y	O ₂	898.765	c	Fe	495.761
Z	O ₂	822.696	F	H β	486.134
A	O ₂	759.370	d	Fe	466.814
B	O ₂	686.719	e	Fe	438.355
C	H α	656.281	G'	H γ	434.047
a	O ₂	627.661	G	Fe	430.790
D ₁	Na	589.592	G	Ca	430.774
D ₂	Na	588.995	h	H δ	410.175
D ₃ or d	He	587.5618	H	Ca ⁺	396.847
e	Hg	546.073	K	Ca ⁺	393.368
E ₂	Fe	527.039	L	Fe	382.044
b ₁	Mg	518.362	N	Fe	358.121
b ₂	Mg	517.270	P	Ti ⁺	336.112
b ₃	Fe	516.891	T	Fe	302.108
b ₄	Fe	516.891	t	Ni	299.444
b ₄	Mg	516.733			

Optické vlastnosti materiálů brýlových čoček

důležité parametry:

- index lomu
- hustota
- **Abbeovo číslo**
- UV mezní bod
- curve variation factor (CV)
- odrazivost

$$V_e = \frac{n_e - 1}{n_{F'} - n_{C'}}$$

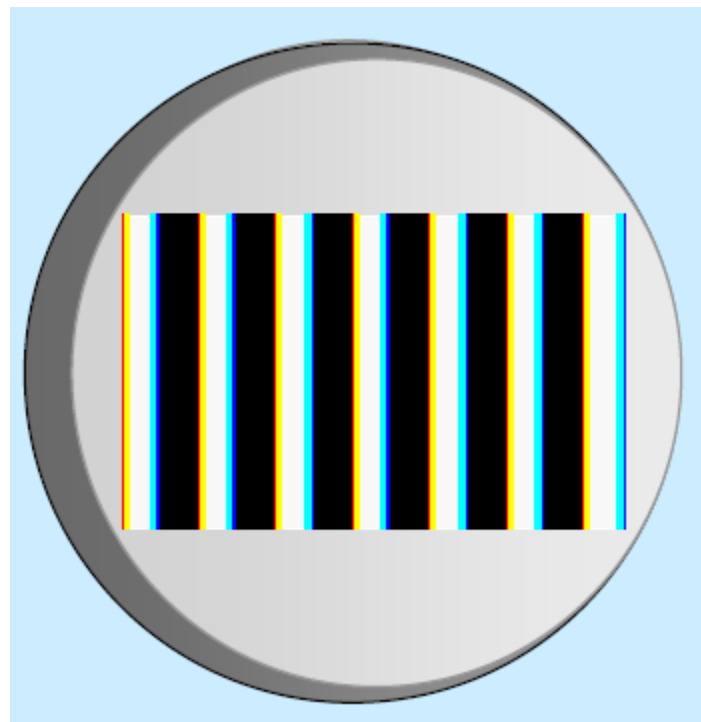


Optické vlastnosti materiálů brýlových čoček

důležité parametry:

- index lomu
- hustota
- **Abbeovo číslo**
- UV mezní bod
- curve variation factor (CVF)
- odrazivost

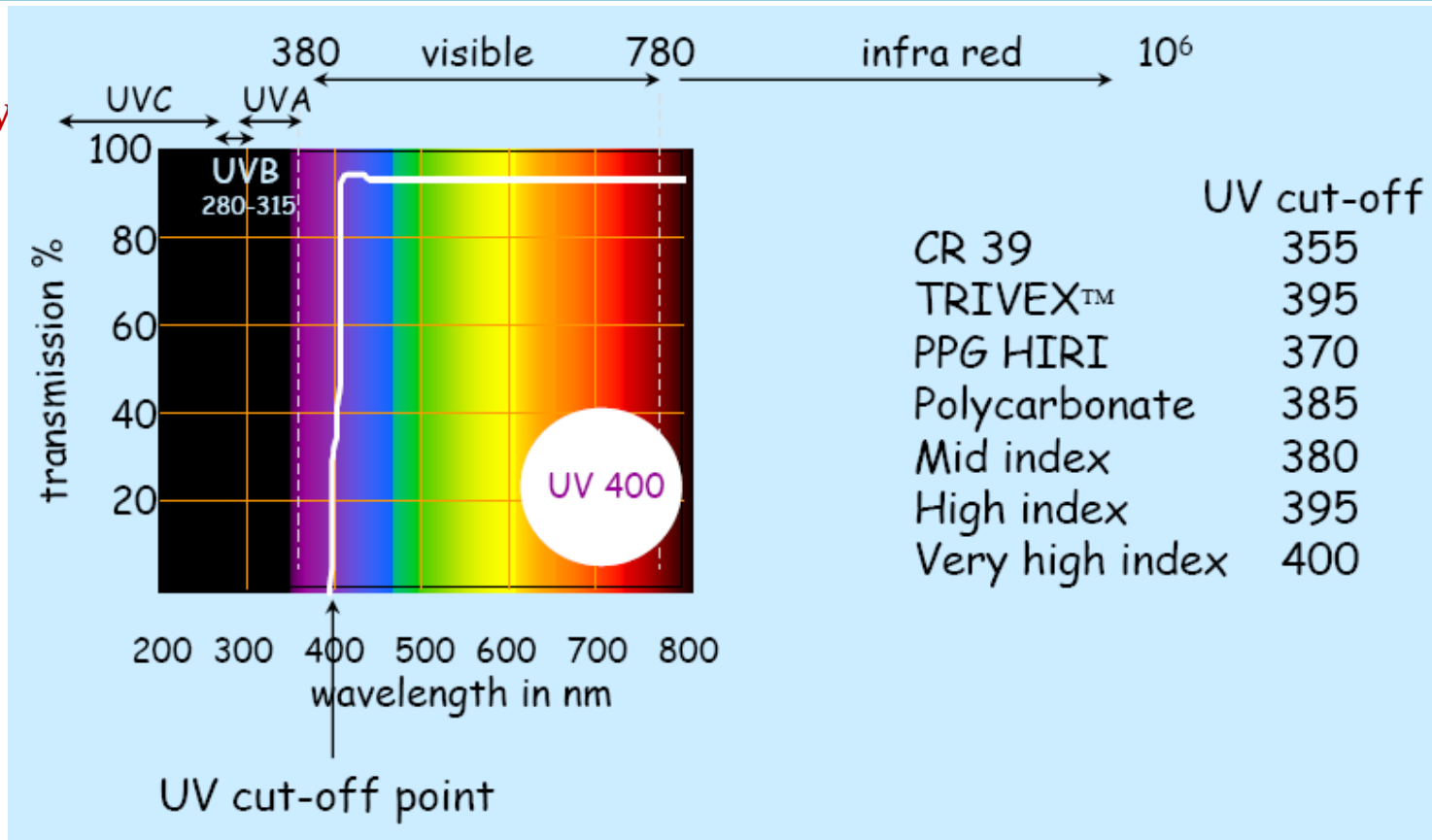
$$V_e = \frac{n_e - 1}{n_F' - n_C'}$$



Optické vlastnosti materiálů brýlových čoček

důležité parametry

- index lomu
- hustota
- Abbeovo číslo
- **UV mezní bod**
- CVF
- odrazivost



Optické vlastnosti materiálů brýlových čoček

důležité parametry:

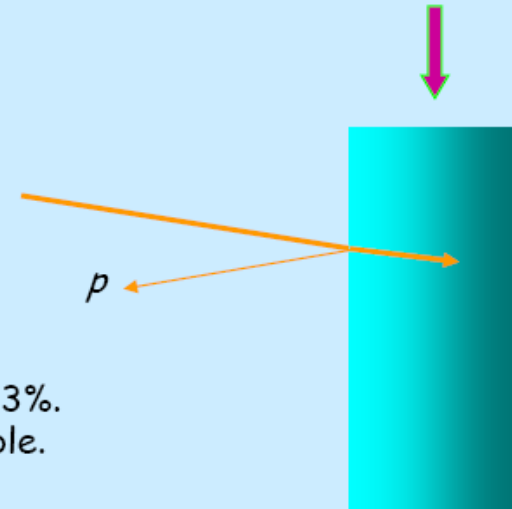
- index lomu
- hustota
- Abbeovo číslo
- UV mezní bod
- CVF
- **odrazivost**
(kolmý dopad)

Glass type	index	CVF	Abbe No	density	reflectance	T%
crown	1.525	1.0	59	2.5	4.3%	91.6
mid-index	1.604	0.87	42	2.6	5.4%	89.5
high index	1.705	0.75	42	3.2	6.8%	86.9
very high index	1.807	0.65	35	3.7	8.3%	84.2
very high index	1.892	0.59	31	4.0	9.5%	81.9

Fresnel's fraction.

$$p = \left[\frac{n - 1}{n + 1} \right]^2 \times 100\%$$

For $n = 1.525$, the fraction turns out to be 4.3%.
Values for other indices are given in the table.



Optické vlastnosti materiálů brýlových čoček

důležité parametry:

- index lomu
- hustota
- Abbeovo číslo
- UV mezní bod

$$CVF = \frac{(n_{\text{base}} - 1)}{(n_{\text{mat}} - 1)}$$

n_{base} is the refractive index of the base material

n_{mat} is the refractive index of the material being compared

- **curve variation factor (CVF)**

- odrazivost

vystihuje odchylku objemu a tloušťky ve srovnání s korunovým sklem, např.

1,0 ... plný objem

0,75 ... o 25 % menší objem